

**Zeitschrift:** Eclogae Geologicae Helvetiae  
**Herausgeber:** Schweizerische Geologische Gesellschaft  
**Band:** 45 (1952)  
**Heft:** 1

**Anhang:** Tafeln  
**Autor:** [s.n.]

#### **Nutzungsbedingungen**

Die ETH-Bibliothek ist die Anbieterin der digitalisierten Zeitschriften. Sie besitzt keine Urheberrechte an den Zeitschriften und ist nicht verantwortlich für deren Inhalte. Die Rechte liegen in der Regel bei den Herausgebern beziehungsweise den externen Rechteinhabern. Siehe Rechtliche Hinweise.

#### **Conditions d'utilisation**

L'ETH Library est le fournisseur des revues numérisées. Elle ne détient aucun droit d'auteur sur les revues et n'est pas responsable de leur contenu. En règle générale, les droits sont détenus par les éditeurs ou les détenteurs de droits externes. Voir Informations légales.

#### **Terms of use**

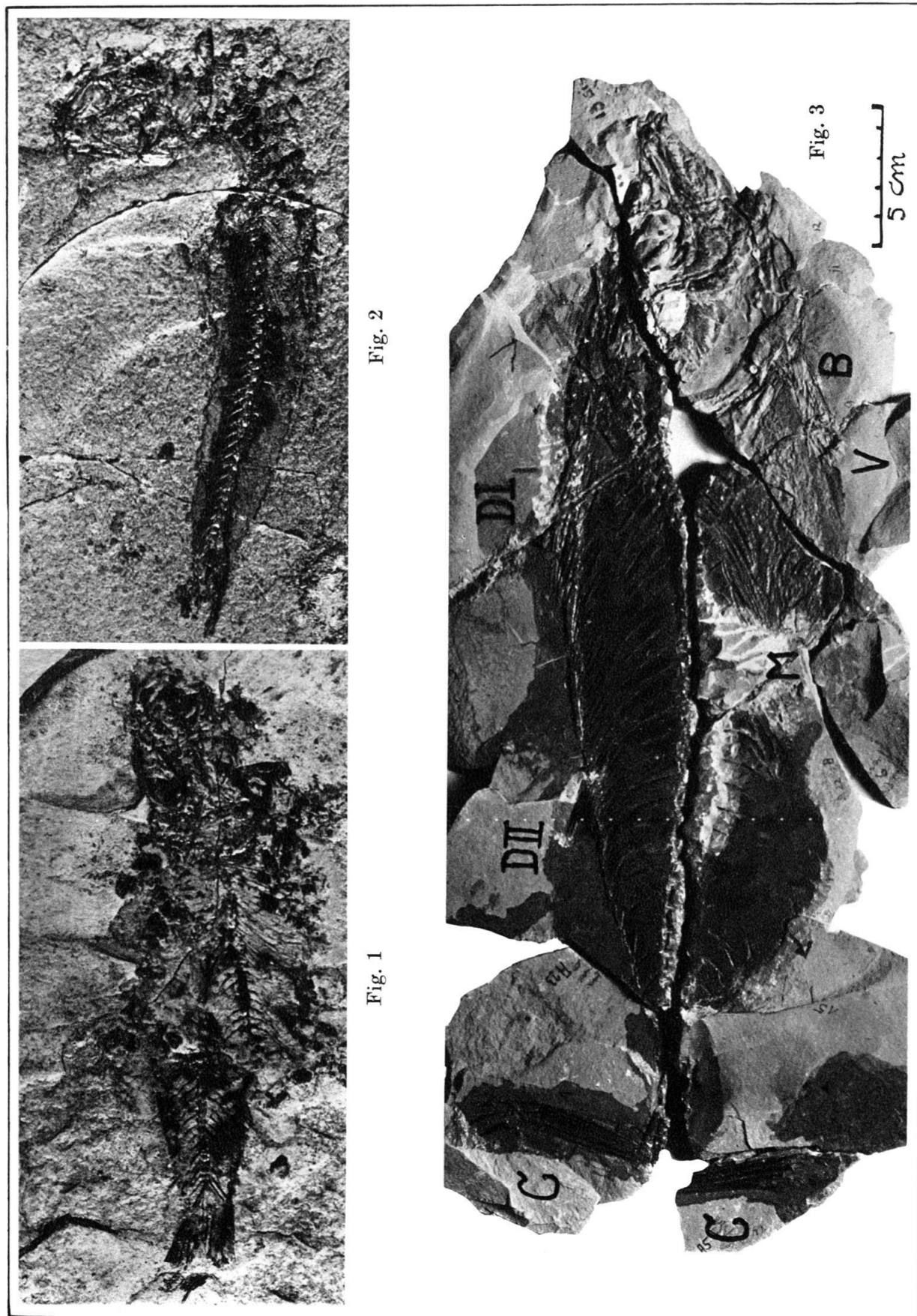
The ETH Library is the provider of the digitised journals. It does not own any copyrights to the journals and is not responsible for their content. The rights usually lie with the publishers or the external rights holders. See Legal notice.

**Download PDF:** 01.04.2025

**ETH-Bibliothek Zürich, E-Periodica, <https://www.e-periodica.ch>**

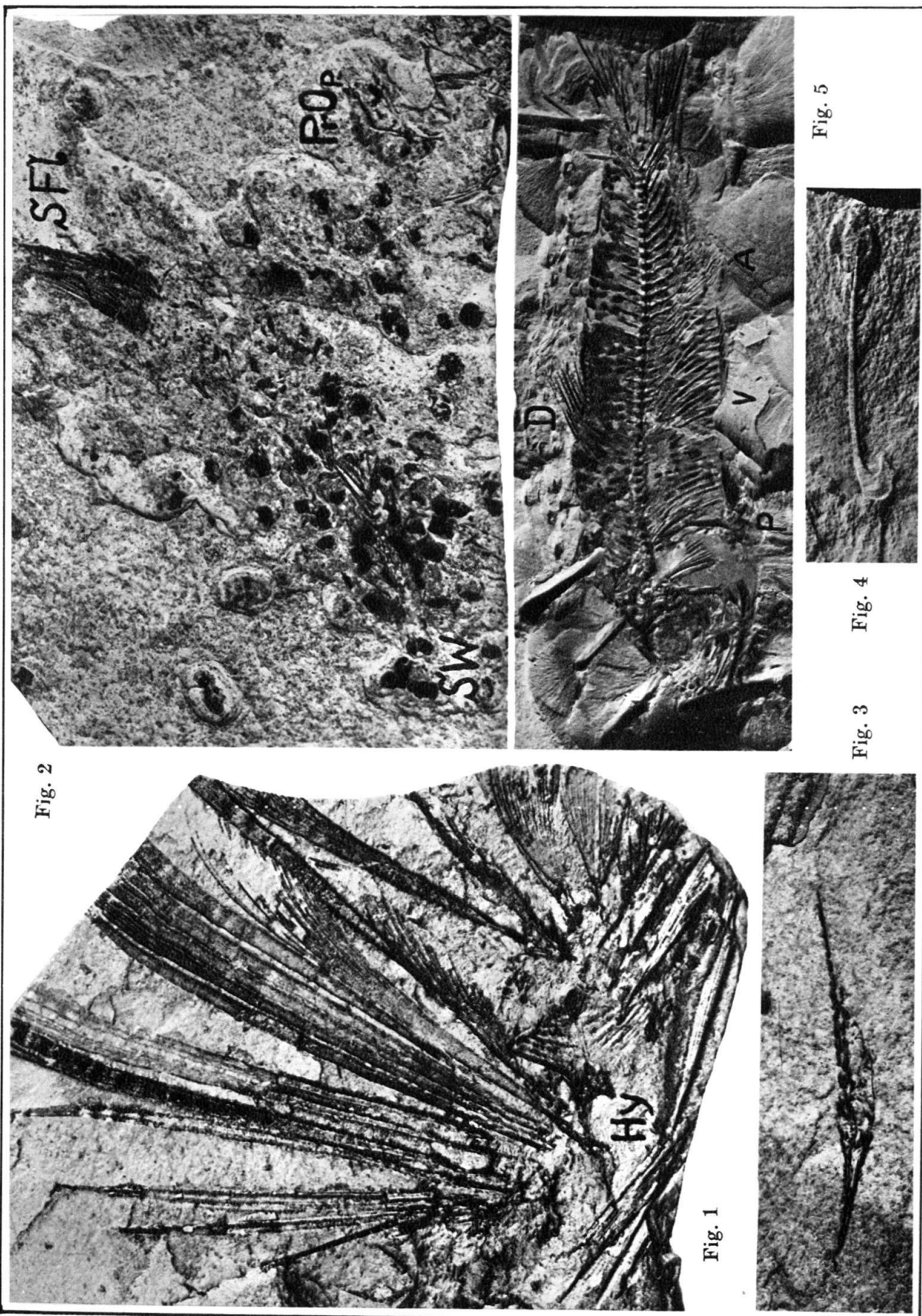
## Erklärung zu Tafel I

- Fig. 1. *Clupea sardinites* (H.) mit Anzeichen beginnender Mazeration. Wirbelsäule mehrfach gebrochen, Schuppen teilweise abgelöst und zerstreut. — 1 : 1. — Entlebuchschief. INr. 12. Aufnahme: H. FRÖHLICHER . . . . . S. 10, 27.
- Fig. 2. *Clupea sardinites* (H.) mit hakenartig abgeknicktem Kopf. — 1 : 1. — Entlebuchschief. INr. 81. Aufn. H. FRÖHLICHER . . . . . S. 10, 27.
- Fig. 3. *Sarda brachycephala* (LER.). — Etwa 1 : 3. — Entlebuchschief. INr. A2, 5, 22a, 23. Aufn.: Photo-Kulturinstitute Worms (K. FÜLLER). B = Becken; C = Caudalis; D I u. D II = erste und zweite Dorsalis; M = Magenanhang mit den Skeletten gefressener Clupeiden; V = Ventralis . . . . . S. 14.



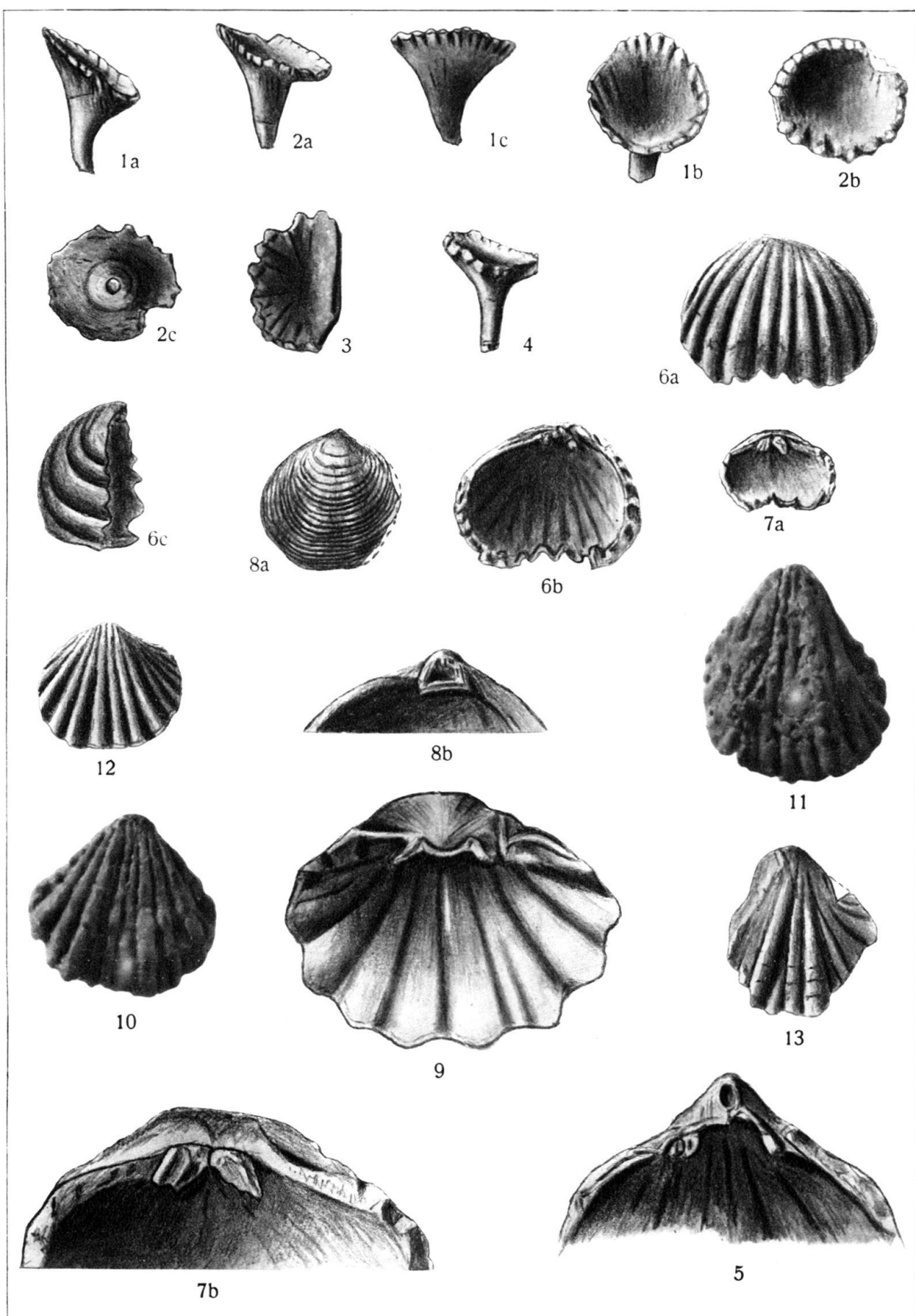
## Erklärung zu Tafel II

- Fig. 1. *Palaeorhynchus* sp. Abdruck der Hypuralplatte mit Flossenstrahlen der Caudalis. — ca. 1 : 1. — Entlebuchschiefer. INr. 44. Hy = Abdruck der Hypuralplatte. Aufn.: H. FRÖHLICHER . . . . . S. 18.
- Fig. 2. *Clupea sardinites* (H.), zerfallene Leiche. — 1 : 1. — Entlebuchschiefer. INr. A 24. Aufn.: H. FRÖHLICHER. PrOp.=Praeoperculum, daneben weitere Kopfknochen; SFl = abgelöste Schwanzflosse; SW = Ende der Schwanzwirbelsäule, von Schuppen umgeben. S. 10, 27.
- Fig. 3. *Centriscus* cf. *teleajensis* (J.). — 1 : 1. — Entlebuchschiefer. INr. 1. Aufnahme: H. FRÖHLICHER . . . . . S. 20.
- Fig. 4. *Cetorhinus parvus* LER. Reusenzahn. — 1 : 1. — Entlebuchschiefer. INr. 66. Aufn.: H. FRÖHLICHER . . . . . S. 10.
- Fig. 5. *Alosa sculptata* W. Septarienton, Delsberger Becken. — 1,2 : 1. — Naturh. Museum Berr. Aufn.: Photo-Kulturinstitute Worms (K. FÜLLER) . . . . . S. 7.



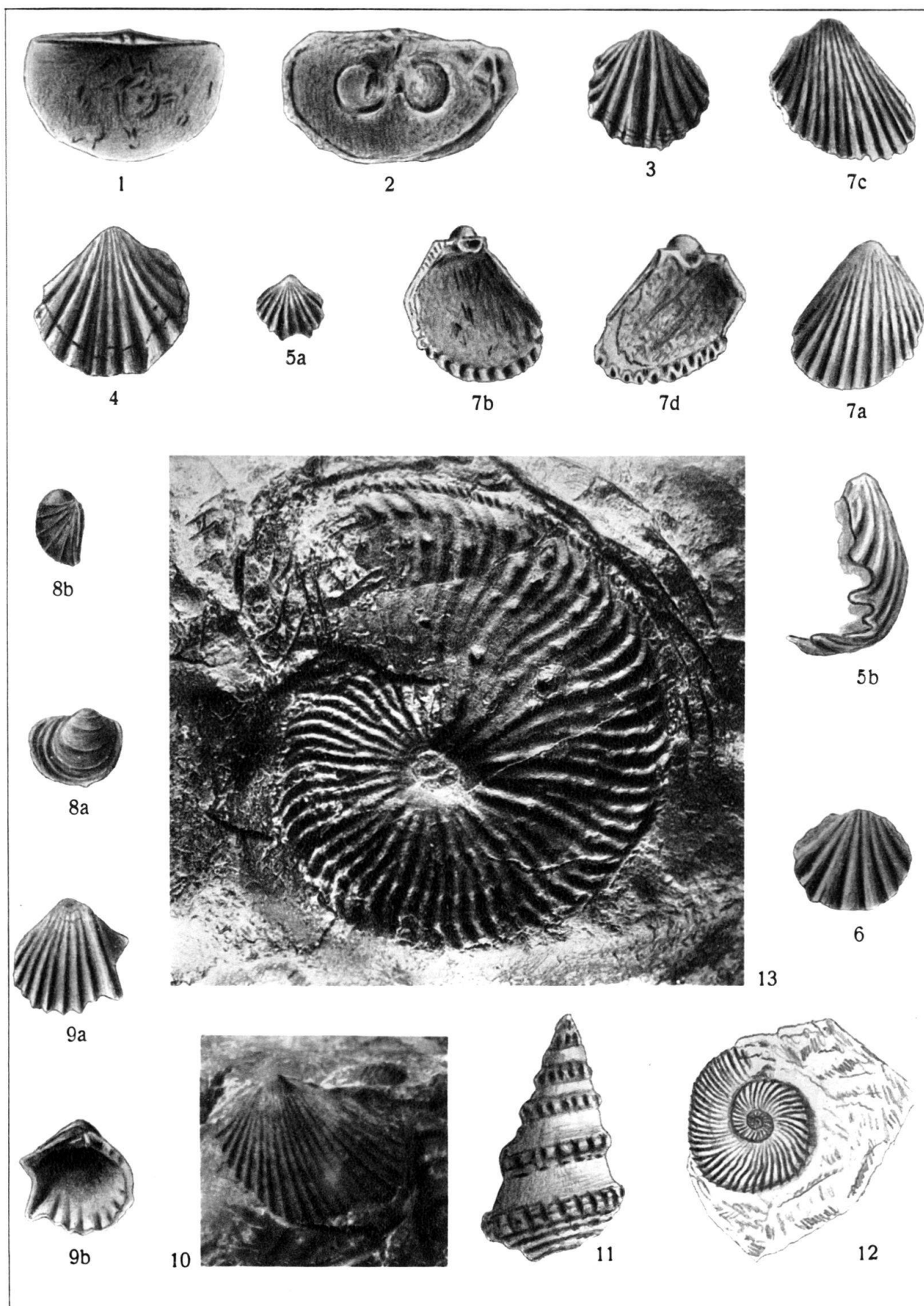
### Erklärung zu Tafel III

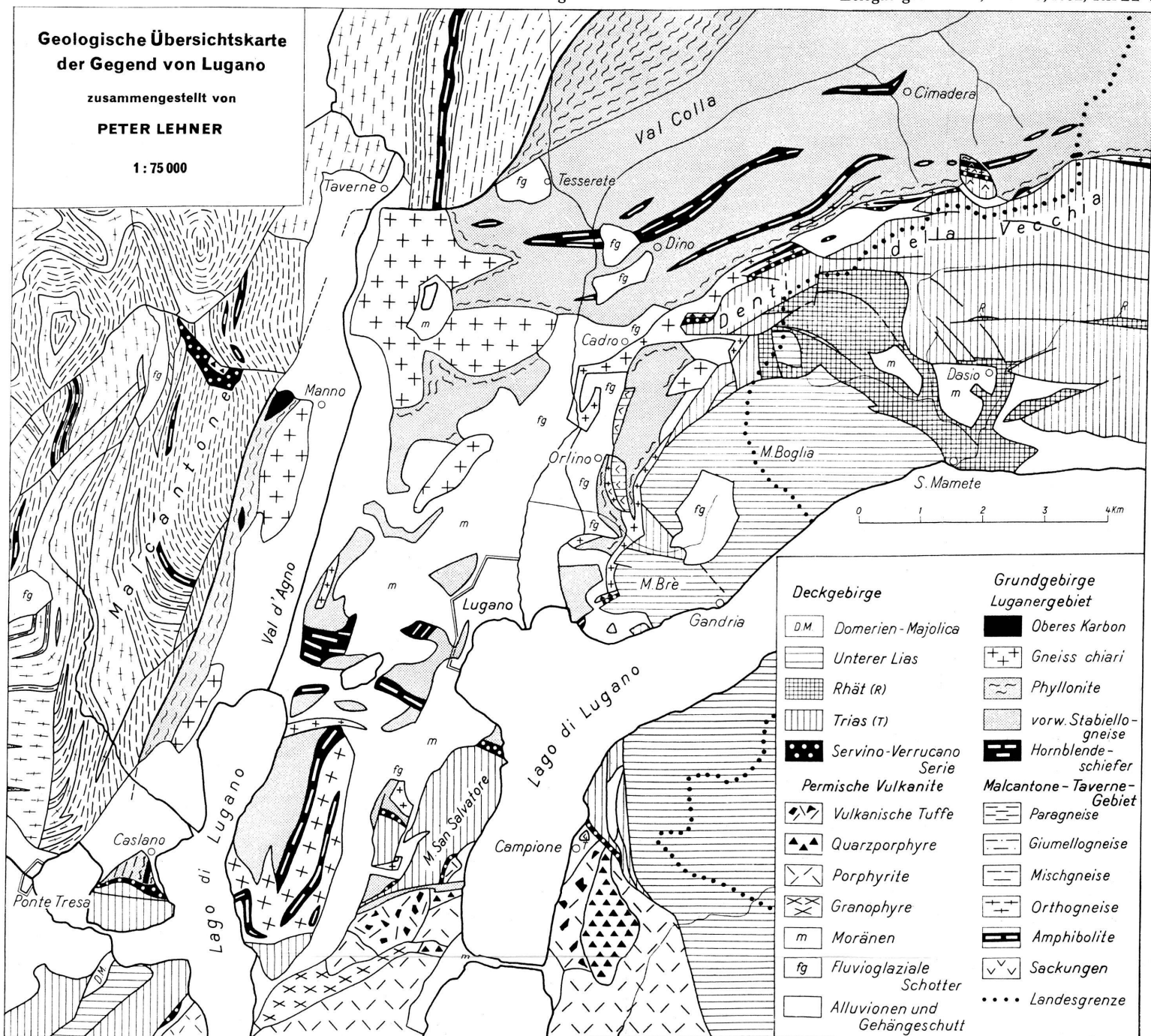
Fig. 1–4.	<i>Radiolus funginus</i> n. sp. Primärstacheln . . . . .	68
	Fig. 1a–c. Holotypus (Exemplar a). Fig. 1a und 1c. Zwei verschiedene Seitenansichten. $\times 1,5$ . – Fig. 1b. Distale Seite $\times 1,5$ .	
	Fig. 2a–c. Exemplar b. Peripherie an einer Stelle beschädigt. Fig. 2a. Seitenansicht $\times 1,5$ . – Fig. 2b. Distale Seite $\times 1,5$ . – Fig. 2c. Proximale Seite.	
	Fig. 3. Exemplar c. Rechts beschädigt. Distale Seite. $\times 1,6$ – Fig. 4. Exemplar d. Randlich stellenweise beschädigt. Seitenansicht $\times 1,5$ .	
Fig. 5.	<i>Spirigera moluccana</i> n. sp. . . . .	69
	Holotypus (Exemplar a). Ventralschale von innen $\times 5,6$ .	
Fig. 6a–c.	<i>Spirigera moluccana</i> n. sp. Exemplar b. Dorsalschale $\times 2,6$ . Fig. 6a. Von aussen. – Fig. 6b. Von innen. – Fig. 6c. Von der Seite.	
Fig. 7a, b.	<i>Spirigera moluccana</i> n. sp. Exemplar c. Dorsalschale. Fig. 7a. Von innen ca. $\times 1,5$ . – Fig. 7b. Von innen ca. $\times 6$ .	
Fig. 8a, b.	<i>Spirigera weberi</i> n. sp. . . . .	71
	Holotypus. Ventralschale. Fig. 8a. Von aussen. $\times 1$ . – Fig. 8b. Von innen $\times 2,7$ .	
Fig. 9.	<i>Retzia bulaënsis</i> n. sp. . . . .	72
	Holotypus. Dorsalschale von innen $\times 5,5$ .	
Fig. 10–13.	<i>Misolia asymmetrica</i> n. sp. . . . .	72
	Fig. 10. Exemplar b. Ventralschale, stark inkrustiert, von aussen $\times 2$ . – Fig. 11. Exemplar c. Ventralschale, stark inkrustiert, von aussen $\times 2$ . – Fig. 12. Exemplar d. Dorsalschale von aussen $\times 1,8$ . – Fig. 13. Exemplar f. Dorsalschale von aussen $\times 2$ .	



### Erklärung zu Tafel IV

Fig. 1–2.	<i>Koninckina alfurica</i> WANNER . . . . .	75
	Fig. 1. Dorsalschale von innen $\times 3,8$ . – Fig. 2. Dorsalschale von innen, inkrustiert, mit Resten des Armgerüstes $\times 3,9$ .	
Fig. 3–4.	<i>Misolia asymmetrica</i> n. sp. . . . .	72
	Fig. 3. Exemplar e. Dorsalschale von aussen $\times 2,1$ . – Fig. 4. Holotypus (Exemplar a). Ventralschale von aussen $\times 1,55$ .	
Fig. 5a, b.	<i>Spirigera moluccana</i> n. sp. . . . .	69
	Holotypus (Exemplar a). Ventralschale. Fig. 5a. Von aussen $\times 1$ . – Fig. 5b. Von der Seite $\times 3$ .	
Fig. 6.	<i>Retzia bulaënsis</i> n. sp. . . . .	72
	Holotypus. Dorsalschale von aussen $\times 2$ .	
Fig. 7a–d.	<i>Limea pusilla</i> n. sp. $\times 2,7$ . . . . .	78
	Fig. 7a. Linke Klappe von aussen. – Fig. 7b. Linke Klappe von innen. – Fig. 7c. Rechte Klappe von aussen. – Fig. d. Rechte Klappe von innen.	
Fig. 8a, b.	<i>Posidonomya gibbosa</i> GEMMELLARO . . . . .	77
	Rechte Klappe $\times 2,5$ . – Fig. 8a. Von aussen. – Fig. 8b. Von der Seite.	
Fig. 9a, b.	<i>Myophoria moluccana</i> n. sp. . . . .	79
	Holotypus $\times 2$ . Fig. 9a. Linke Klappe von aussen. – Fig. 9b. Linke Klappe von innen.	
Fig. 10.	<i>Avicula?</i> n. sp. . . . .	75
	Linke Klappe von aussen $\times 2$ .	
Fig. 11.	<i>Promathidia subcancellata</i> MÜNSTER var. <i>indica</i> n. v. . . . .	79
	Holotypus $\times 3,5$ . Rückansicht.	
Fig. 12.	<i>Cycloctites oppiani</i> DIENER $\times 1,1$ . . . . .	81
Fig. 13.	<i>Sirenites</i> n. sp.? $\times 1$ . . . . .	81



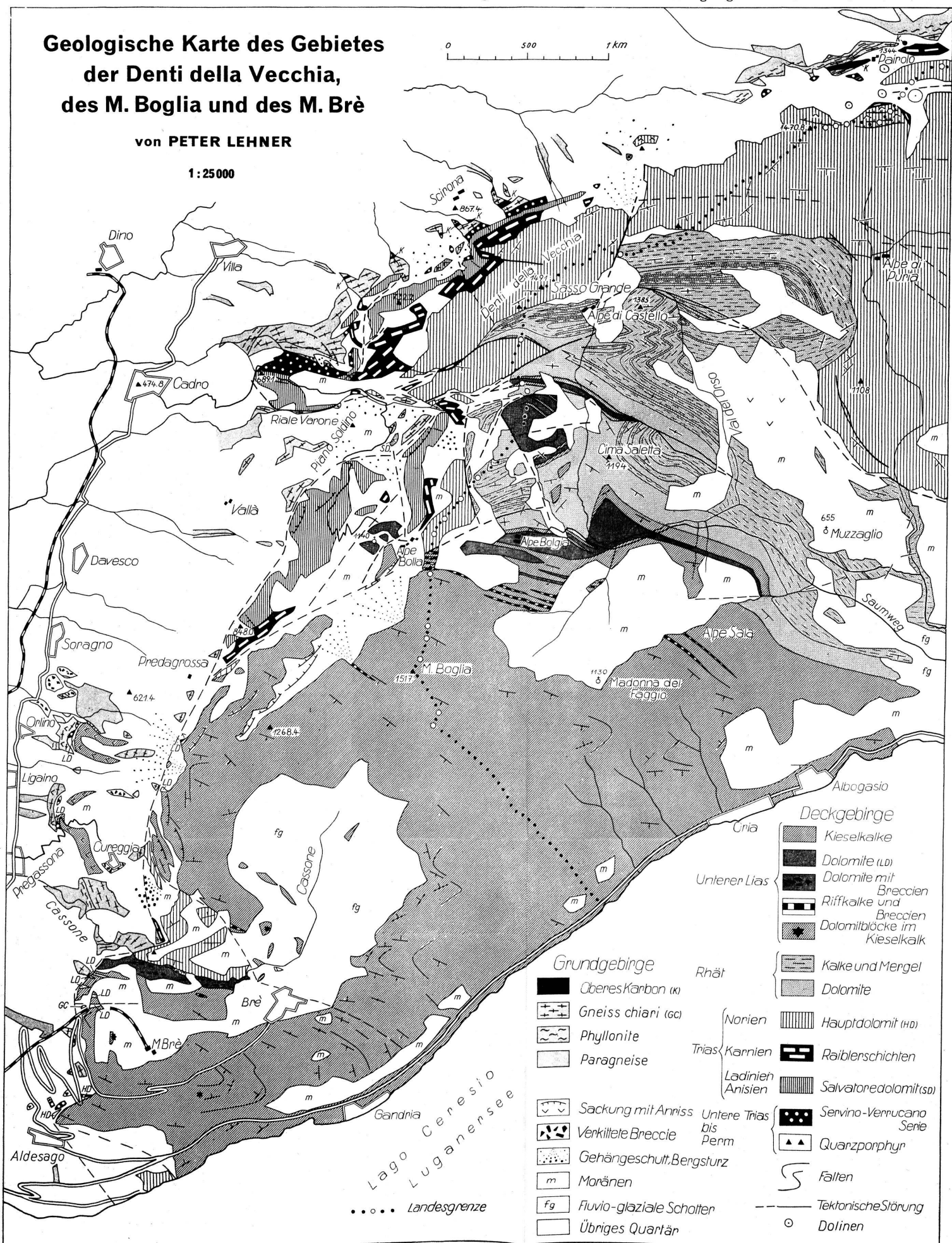


# Geologische Karte des Gebietes der Denti della Vecchia, des M. Boglia und des M. Brè

von PETER LEHNER

1 : 25000

0 500 1 km



# Geologische Profile durch das Gebiet der Denti della Vecchia, des M. Boglia und des M. Brè

